

II-95 河川弯曲部の歪模型実験の問題点について

建設研 正員 須賀亮三
” ” ○馬場洋二

1.はじめに

河川の水理模型実験は各所で数多く実施され、河川の現場がそのままの技術的問題を解決して、河川の計画というシステムの中で、その有用性を不動のものとして現在にいたってい。従来種々の理由により、水平縮尺にくらべて鉛直縮尺を小さくするような歪模型実験が行なわれることが多いた。しかし水理実験の目的が2次元的3次元的な水理現象を模型で予測し、其中に対する適確な解答を見出だすことにあり以上、こうした歪模型における現象の相似性について詳細な研究が必要である。ここでほ3次元性の高い水理現象として、複かん曲部の流れを対象にして、模型の歪の影響について実験的な検討を行なったものがである。なお実験水路は中1.5m、中心曲率半径 $R_c = 3.75 \text{ m}$ 90度かん曲を2回有する複かん曲水路で、水平縮尺を一定にして鉛直縮尺をつかうことで歪模型を達成し、走1.3かん曲の3ケースについて考察した。

2.横断水面形の相似

かん曲部の横断水面形は既知水深が1莫あれば Ippen × Drinker の式エネルギーに因る仮定を用いて計算され、自由渦や強制渦による計算水面形と実験結果とは、実用的にはよく一致する。このような水面形計算式は模型へ歪の影響を受けねども容易に証明できる。表-1の実験ケースにおける横断水面形の比較例を図-1に示したが、粗度検証実験によると横断水位のあら一本を調節するこよりて、このようにはば完全な相似形に至る。

3.歪んだ模型の渦度について

粘性およびレイノルズ応力を無視した定常流の Helmholtz eq. は、円柱座標 (r, θ, z) で示せば

$$\frac{\partial V^2}{\partial r^2} + U_r \Omega_\theta - U_\theta \Omega_r = F_r - \frac{1}{r} \frac{\partial P}{\partial r}, \quad \frac{1}{r} \frac{\partial V^2}{\partial \theta^2} + U_r \Omega_z - U_z \Omega_r = F_\theta - \frac{1}{r} \frac{\partial P}{\partial \theta}, \quad \frac{\partial V^2}{\partial z^2} + U_r \Omega_\theta - U_\theta \Omega_z = F_z - \frac{1}{r} \frac{\partial P}{\partial z} \quad (1)$$

ここで V は U_r, U_θ, U_z および F_r, F_θ, F_z はそれぞれ (r, θ, z) 軸方向の流速成分および重力成分、 P は圧力、 ρ は水の密度、 $V^2 = U_r^2 + U_\theta^2 + U_z^2$ である。また

$$\Omega_r = \frac{1}{r} \frac{\partial U_z}{\partial \theta} - \frac{\partial U_\theta}{\partial z}, \quad \Omega_\theta = \frac{\partial U_r}{\partial z} - \frac{\partial U_z}{\partial r}, \quad \Omega_z = \frac{1}{r} \left(\frac{\partial r U_\theta}{\partial r} - \frac{\partial r U_r}{\partial \theta} \right) \quad (2)$$

表-1

単断面固定床水路実験
の結果と
実験ケース

ケース名	歪	x_r	h_r	i_r	n_r	U_r	Q_r	流量 l/s	下流水深 cm	河床勾配	粗度 n	$V \text{ cm/s}$	
単弯曲 水路 および 複弯曲 水路	1-A	1	1	1	1	1	1	40.43	8.0	1/2500	0.0103	33.69	
	3-A	3	1/3	1/3	0.5407	0.5774	1/5.1962	210.07	24.0	1/2500	0.0190	58.35	
	5-A	5	1/5	1/5	0.4250	0.4472	1/11.1803	451.99	40.0	1/2500	0.0240	75.33	
	1-B	1	1	1	1	1	1	18.93	5.0	1/2500	0.0103	25.24	
	3-B	3	1	1/3	1/3	0.5200	0.5774	1/5.1962	98.37	15.0	1/2500	0.0198	43.72
	5-B	5	1	1/5	1/5	0.3969	0.4472	1/11.1803	211.67	25.0	1/2500	0.0260	56.44

はそれぞれ (r , φ , z) 軸方向の渦度成分である。 Ω_r および Ω_φ はともに水平軸をもつた渦度であり、 Ω_z のみが鉛直軸を中心とする渦度である。

ここで「圧力に静水圧分布で、また模型の平面的形状を現地と同一に作ることにすれば」常套的にいえれば V (現地量)/ V (模型量) などと書き表わすにすれば、(1)式の相似性が成立する条件は

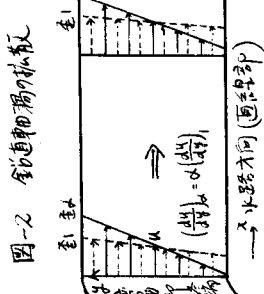
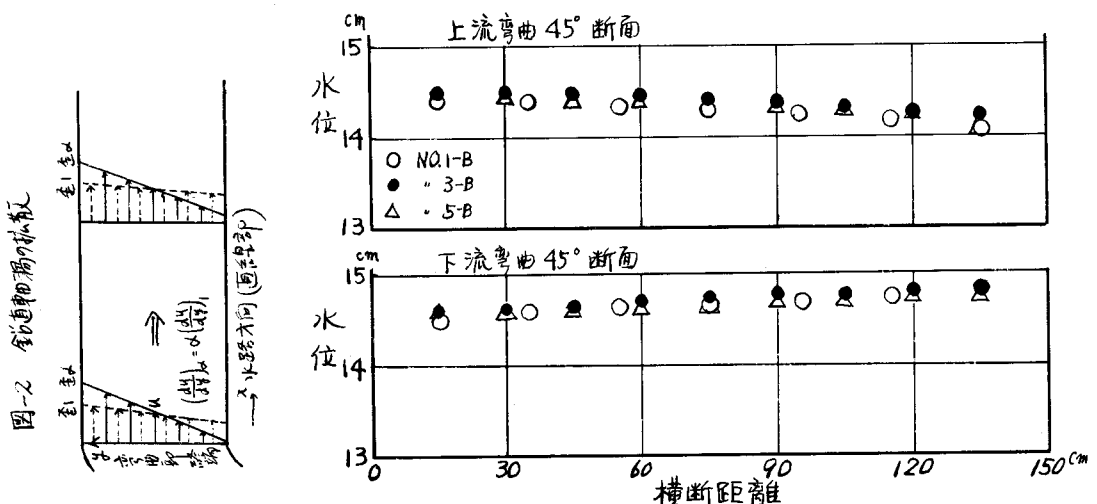
$$\Omega_{rR} = \frac{1}{\alpha V_{zR}} = \frac{1}{V_{rR}}, \quad \Omega_{\varphi R} = \frac{1}{\alpha V_{zR}} = \frac{1}{V_{\varphi R}}, \quad \Omega_{zR} = \frac{1}{\alpha V_{rR}} = \frac{1}{V_{zR}} \quad (3)$$

である。ただし α は密度を表わし $\alpha = r_R(\text{水密部})/z_R(\text{鉛直部})$ である。 $\alpha = 1$ のときには模型と現地との各渦度の比は等しくなってフルード数から得られる流速縮尺と逆数關係にある。しかし歪度が 1 より「全模型実験の場合には、鉛直軸渦の比 Ω_{zR} の縮率のせいで他と異なり、歪模型の鉛直軸渦は現地の $\frac{1}{\alpha}$ 、および他の水平軸渦の歪像には注目せよ。」とある(4)式の鉛直軸渦流速成分 Ω_z を無視しても(3)式と同じ關係がでてくる。すなはち式の式や連続の式から $V_{zR} = V_{rR} = \alpha V_{\varphi R}$ である。

こうした研究は筆者にとって織に「たまに手に取る」さらに深奥な解釈が「たまに手に取る」である。しかし上述のような渦度成分の差は、かんゆ部の終端部で比較的単純な場合を考へて、図-2のように、横断方向の流速のこう配が歪めの場合には 1 の倍にならないことを意味して「不規則である」という。こうした渦度の水路方向での拡散状況が異なるところに差があると思われる。こうした歪模型の現象を示しておいたのが図-3 橫断流速分布および図-4(1)(2)の移動床実験の河床形状の違いである。

図-3 は上述の複かんゆ水路において表-1 の 1-B, 3-B, 5-B の実験データにおける横断流速分布を比較したもので、歪 1 以外のものにつけては表-1 の縮率を算出して換算してある。測定断面は 2 つのかんゆ部の中間で、上流かんゆ部より 2 次流の完全発達成の流れと下流かんゆ部の発生域の流れとが混合して断面である。この図より $r=4.35^m$ の点は上流かんゆの外岸であり、歪 3 および 5 のものは外岸の下で「流速が土間に加速して下流かんゆ部の内岸に流入しておる」。 $r=3.15^m$ の点ではその逆のよう左端近くで「左岸に、なぜか知らふるが、これは図-2 の歪り拡散模式図より説明する」である。

図-1 歪模型の横断水位比較



このような問題について以前、佐藤博士は、歪模型での流れのモーティルギーが相対的に増加するので、とくに河口の歪模型実験については注意すべきことを指摘されてゐるが、類似の問題点であると考えられる。

図-4-1, 4-2 は同じ複数曲水路において実施した移動床実験の結果を比較したものである。各歪のものとて $T_0/T_c = 2$ となるよう河床材料の粒径を変化させており、フルード数は $F = \frac{U}{\sqrt{gk}} = 0.3$ である。

図-4-1 河床変動横断の比較

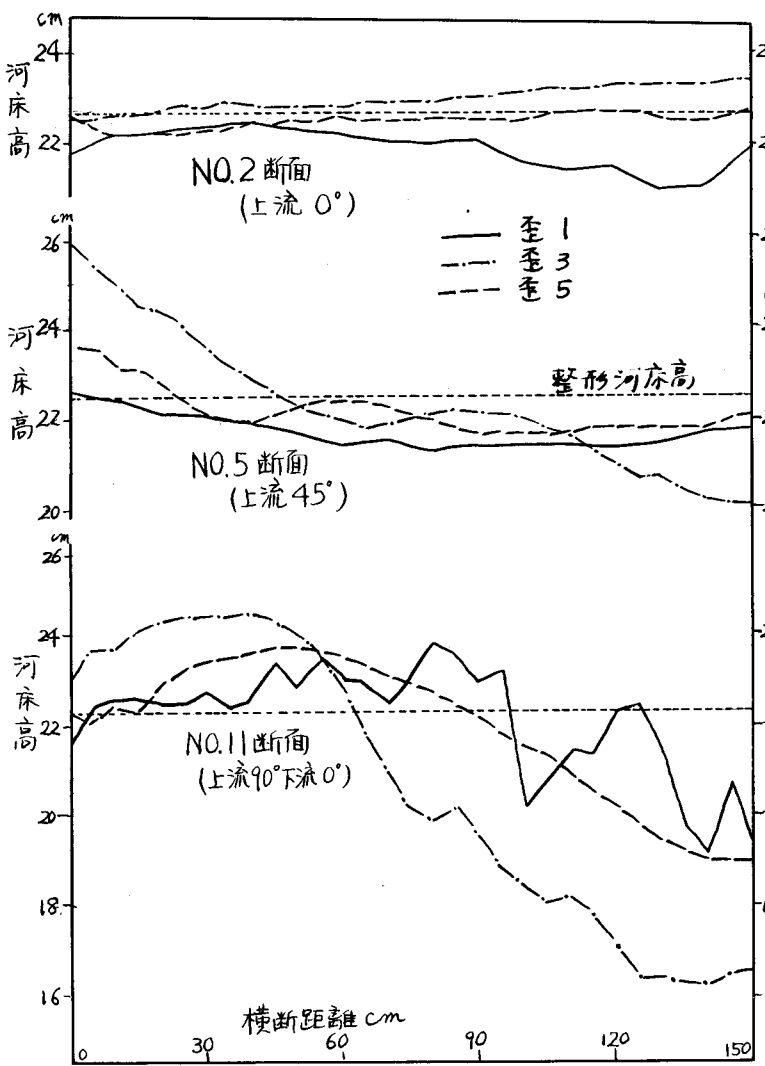
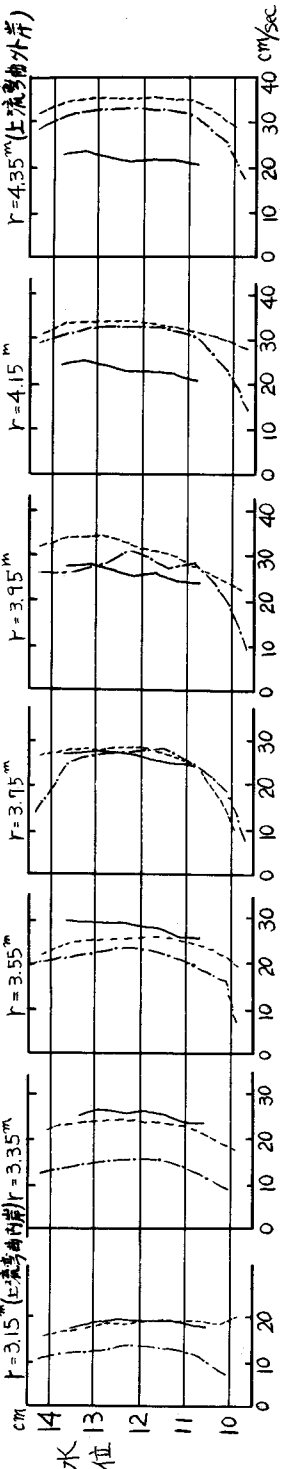


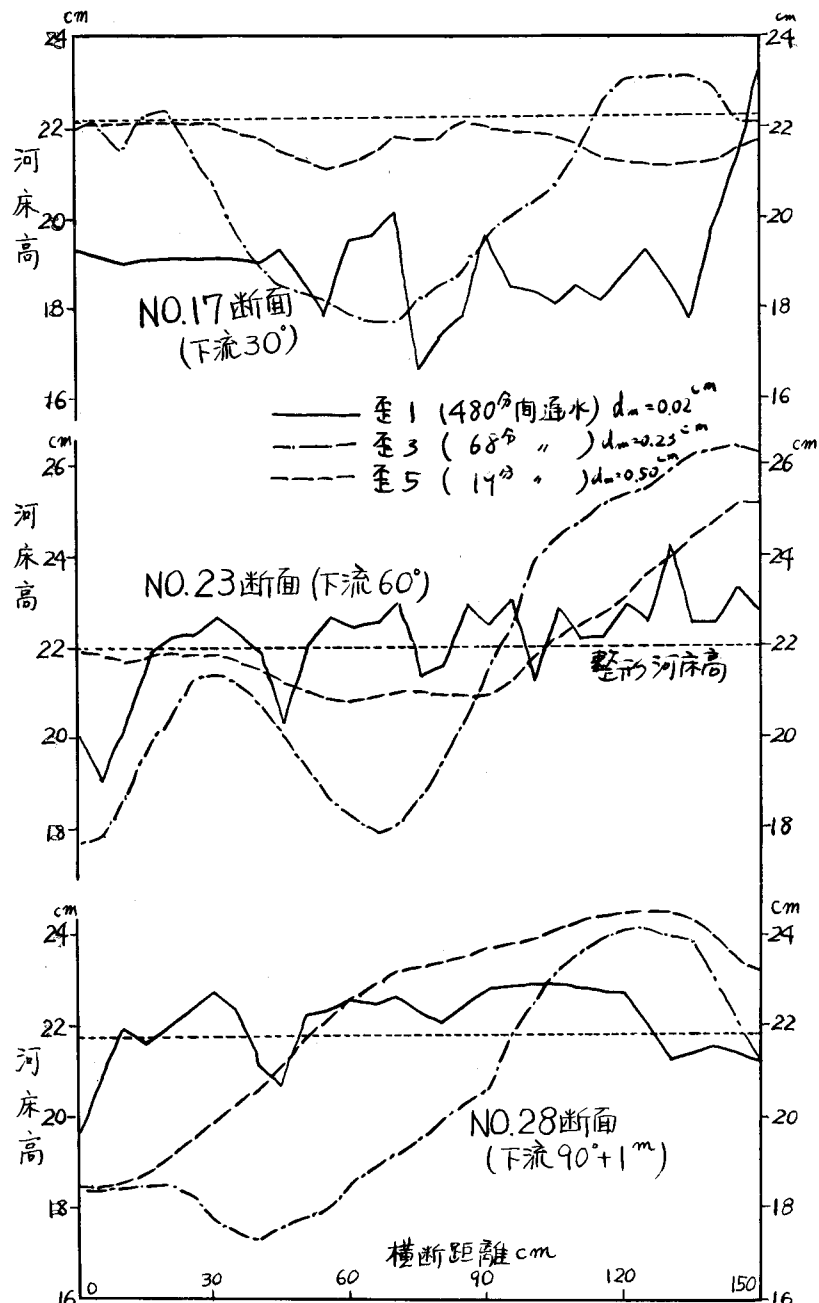
図-3 横断方向 流速分布の比較
(左は標準算定)
— No.1 (1-B)
--- No.3 (3-B)
- - - No.5 (5-B)



また、流砂の移動形式はほとんど掃流形であるので、流砂量公式にて土研公式を用いて時間縮尺を定めた。

弯曲部の中 NO.5 や NO.23 の河床横断は比較的傾向が似てゐるが、上流から曲下流へいくも下流から曲の始端である NO.11 断面、上流から曲流の影響を受ける下流から曲始端近くの断面 NO.17 あたり下流から曲の終端より 1° 下流の NO.28 では、図の 2 に示す鉛直軸渦の消長に因連した浅掘れがかなり明瞭である。なお NO.17 あたり NO.23 の両断面の垂 3 の河床形状には、大きめの砂堆の断面が現れており水路中央部の河床高が極端に下がり、これを除くと、同様に $\frac{d}{L_c} = 4$ の場合に至っても実験を行なってみると、砂が浅掘れ堆土して固定床が路出したため、図-4

図-4-2 河床変動横断の比較



では少し異なった。今後二つ問題につけては、渦の発生、保存および拡散について研究を進めたと考えていい。

参考文献、佐藤清一、水理模型実験によるその相似性と相似限界について、土木研究所報告、60号、B616.3